

02

## Анализ экспериментальных результатов по модели Гавриляка–Негами в диэлектрической спектроскопии

© А.С. Волков, Г.Д. Копосов, Р.О. Перфильев, А.В. Тягунин

Северный (Арктический) федеральный университет им. М.В. Ломоносова,  
163002 Архангельск, Россия

e-mail: a.s.volkov@narfu.ru

Поступила в редакцию 11.09.2017 г.

Рассмотрена проблема идентификации экспериментальных результатов по исследованию частотных зависимостей действительной и мнимой частей диэлектрической проницаемости на предмет соответствия одной из признанных моделей частотной дисперсии: модели Дебая, Коул–Коула, Дэвидсона–Коула и Гавриляка–Негами. На основе выражений для компонент комплексной диэлектрической проницаемости с использованием математического анализа разработана последовательность шагов по определению характеристических параметров обобщенной модели Гавриляка–Негами: статической  $\varepsilon_S$  и высокочастотной  $\varepsilon_\infty$  диэлектрической проницаемости, показателей частотной дисперсии  $\alpha$  и  $\beta$ , времени релаксации  $\tau$ . Приведен пример расчета параметров  $\varepsilon_S$ ,  $\varepsilon_\infty$ ,  $\alpha$ ,  $\beta$  и  $\tau$  для образца мерзлой дисперсной среды на основе порошка мелкозернистого кварца при влажности 13% в диапазоне температур от  $-140$  до  $0^\circ\text{C}$ .

DOI: 10.21883/OS.2018.02.45525.200-17

### Введение

Одной из проблем физики диэлектриков является установление вида частотной зависимости действительной и мнимой частей комплексной диэлектрической проницаемости  $\varepsilon^* = \varepsilon' - j\varepsilon''$ . Вынужденные колебания в переменном электрическом поле зависят от того, имеет ли вещество частицы с независимой от температуры собственной частотой колебаний или вынужденные колебания подвержены релаксационному температурному процессу с некоторым временем релаксации. Поляризация льда в мерзлых влагосодержащих дисперсных средах, изучением которой занимается Лаборатория физики дисперсных систем САФУ имени М.В. Ломоносова, является релаксационной.

Первая теория частотной зависимости диэлектрической проницаемости полярных диэлектриков была создана Дебаем в 1929 г. [1]:

$$\varepsilon = \varepsilon_\infty + \frac{\varepsilon_S - \varepsilon_\infty}{1 + i\omega\tau}. \quad (1)$$

В 1941 г. Коулы [2] предложили несколько иную математическую модель диэлектрической релаксации:

$$\varepsilon = \varepsilon_\infty + \frac{\varepsilon_S - \varepsilon_\infty}{1 + (i\omega\tau)^{1-\alpha}}. \quad (2)$$

Коул и Дэвидсон [3] в 1951 г. видоизменили дисперсионную формулу, приведя ее к виду

$$\varepsilon = \varepsilon_\infty + \frac{\varepsilon_S - \varepsilon_\infty}{(1 + i\omega\tau)^\beta}. \quad (3)$$

В 1966 г. Гавриляк и Негами [4] продолжили развитие математической модели, предложив следующее дисперсионное соотношение:

$$\varepsilon = \varepsilon_\infty + \frac{\varepsilon_S - \varepsilon_\infty}{(1 + (i\omega\tau)^{1-\alpha})^\beta}. \quad (4)$$

Модель Гавриляка–Негами (4) можно рассматривать как обобщение предыдущих моделей частотной дисперсии:

- при  $\alpha = 0$  и  $\beta = 1$  — модель Дебая;
- при  $1 > \alpha > 0$  и  $\beta = 1$  — модель Коул–Коула;
- при  $\alpha = 0$  и  $1 > \beta > 0$  — модель Дэвидсона–Коула.

В этой модели компоненты комплексной диэлектрической проницаемости находятся [5]:

$$\varepsilon' = \varepsilon_\infty + (\varepsilon_S - \varepsilon_\infty)r^{-\beta/2} \cos \beta\theta, \quad (5)$$

$$\varepsilon'' = (\varepsilon_S - \varepsilon_\infty)r^{-\beta/2} \sin \beta\theta, \quad (6)$$

где

$$r = \left[ 1 + (\omega\tau)^{1-\alpha} \sin\left(\frac{\alpha\pi}{2}\right) \right]^2 + \left[ (\omega\tau)^{1-\alpha} \cos\left(\frac{\alpha\pi}{2}\right) \right]^2. \quad (7)$$

$$\theta = \arctg \left[ \frac{(\omega\tau)^{1-\alpha} \cos\left(\frac{\alpha\pi}{2}\right)}{1 + (\omega\tau)^{1-\alpha} \sin\left(\frac{\alpha\pi}{2}\right)} \right]. \quad (8)$$

Попытка определить параметры частотной дисперсии  $\alpha$ ,  $\beta$  и  $\tau$  предпринимались и ранее. Лукичев [6] видоизменил математическую форму частотной дисперсии Гавриляка–Негами, приведя ее к не вполне характерному виду, использовал при анализе не совсем правильное соотношение  $\omega(\varepsilon''_{\max})\tau = 1$ . Кроме этого, представляется нелогичным введение параметра  $C = \frac{\log(\tau_0)^C}{\log(\tau_0)}$ , где  $\log(\tau_0)$  выбирается исходя из начальной температуры эксперимента.

Богатин с соавторами [7] предложили метод экстраполяции для определения вида распределения релаксаторов в диэлектриках. Однако приведенные уравнения для  $\varepsilon'$  и  $\varepsilon''$  при  $\omega \rightarrow \infty$  не совсем согласуются с выражениями  $\varepsilon'$  и  $\varepsilon''$  по модели Гавриляка–Негами.

Учитывая сказанное выше, был проведен математический анализ дисперсионных соотношений и выработан

экспериментально ориентированный алгоритм для определения диэлектрической частотной дисперсии.

### Алгоритм расчета

Шаг 1 выработанного алгоритма предполагает построение диаграмм Арганда (Коул–Коула), представляющих зависимость релаксационной части  $\epsilon''_{rel} = \epsilon'' - \frac{\sigma_S}{\epsilon_0 \omega}$  от действительной части  $\epsilon'$ . В предыдущем уравнении  $\sigma_S$  — статическая удельная электрическая проводимость,  $\epsilon_0$  — диэлектрическая постоянная. Полиномиальное представление этой зависимости позволяет при  $\epsilon''_{rel} \rightarrow 0$  найти значения  $\epsilon_\infty$  и  $\epsilon_S$  при различных температурах.

Шаг 2 предполагает нахождение параметра  $\beta$ . Используя тот факт, что в точке  $\epsilon_S \omega \rightarrow 0$  и соответственно  $\Theta \rightarrow 0$ , дифференцируя  $\epsilon'$  и  $\epsilon''$ , в пределе при  $\Theta \rightarrow 0$  получаем

$$\left| \left( \frac{d\epsilon''}{d\epsilon'} \right)_{\epsilon_S} \right| = \frac{1}{\beta}. \quad (9)$$

Шаг 3 имеет своей целью определение параметра  $\alpha$  в точке, соответствующей  $\epsilon_\infty$  при  $\omega \rightarrow \infty$ . В этой точке  $\epsilon'' = (\epsilon' - \epsilon) \operatorname{tg}(\beta\theta)$  и

$$\begin{aligned} \left( \frac{d\epsilon''}{d\epsilon'} \right)_{\epsilon_\infty} &= \operatorname{ctg}(\beta\theta) \\ &= \operatorname{ctg} \left[ \beta \operatorname{arctg} \frac{(\omega\tau)^{1-\alpha} \cos\left(\frac{\alpha\pi}{2}\right)}{1 + (\omega\tau)^{1-\alpha} \sin\left(\frac{\alpha\pi}{2}\right)} \right]. \end{aligned} \quad (10)$$

Учтя, что  $\omega \rightarrow \infty$ , имеем

$$\begin{aligned} \left( \frac{d\epsilon''}{d\epsilon'} \right)_{\epsilon_\infty} &= \operatorname{ctg} \left[ \beta \operatorname{arctg} \frac{\cos\left(\frac{\alpha\pi}{2}\right)}{\frac{1}{(\omega\tau)^{1-\alpha}} + \sin\left(\frac{\alpha\pi}{2}\right)} \right] \\ &= \operatorname{ctg} \left[ \beta \operatorname{arctg} \left( \operatorname{ctg} \left( \frac{\alpha\pi}{2} \right) \right) \right]. \end{aligned} \quad (11)$$

Учитывая, что  $\operatorname{arctg}(\operatorname{ctg}(\frac{\alpha\pi}{2})) = \frac{\pi}{2} - \frac{\alpha\pi}{2}$ , после несложных преобразований получаем условие для нахождения параметра  $\alpha$ :

$$1 - \alpha = \frac{\operatorname{arctg}\left(\frac{d\epsilon''}{d\epsilon'}\right)_{\epsilon_\infty}}{\frac{\beta\pi}{2}}. \quad (12)$$

Отметим, что вместо выбора  $d\epsilon''/d\epsilon'$  в качестве основы для нахождения дисперсионных параметров  $\alpha$  и  $\beta$  можно выбрать зависимость  $\epsilon'' = f(\omega)$ . Так, согласно [7],

$$\begin{cases} \lim_{\omega \rightarrow 0} \frac{d \lg \epsilon''}{d \lg \omega} = 1 - \alpha \\ \lim_{\omega \rightarrow \infty} \frac{d \lg \epsilon''}{d \lg \omega} = -(1 - \alpha)\beta. \end{cases} \quad (13)$$

Шаг 4 служит для нахождения последнего неизвестного параметра — времени релаксации  $\tau$  при данной температуре. Это можно сделать двумя способами.

Первый способ основывается на соотношении, что для любой точки на диаграмме Арганда  $\frac{\epsilon''}{\epsilon' - \epsilon_\infty} = \operatorname{tg}(\beta\theta)$ . Тогда  $\beta\theta = \operatorname{arctg}\left(\frac{\epsilon''}{\epsilon' - \epsilon_\infty}\right)$  и

$$\operatorname{arctg} \left[ \frac{(\omega\tau)^{1-\alpha} \cos\left(\frac{\alpha\pi}{2}\right)}{1 + (\omega\tau)^{1-\alpha} \sin\left(\frac{\alpha\pi}{2}\right)} \right] = \frac{1}{\beta} \operatorname{arctg} \left( \frac{\epsilon''}{\epsilon' - \epsilon_\infty} \right). \quad (14)$$

Основываясь на уравнениях (8) и (14), после преобразования получаем уравнение для времени релаксации:

$$\tau = \frac{1}{\omega^{1-\alpha}} \sqrt{\frac{\operatorname{tg}\left(\left(\frac{1}{\beta}\right) \operatorname{arctg}\left(\frac{\epsilon''}{\epsilon' - \epsilon_\infty}\right)\right)}{\cos\left(\frac{\alpha\pi}{2}\right) - \sin\left(\frac{\alpha\pi}{2}\right) \left[ \operatorname{tg}\left(\left(\frac{1}{\beta}\right) \operatorname{arctg}\left(\frac{\epsilon''}{\epsilon' - \epsilon_\infty}\right)\right) \right]}}. \quad (15)$$

Для точности целесообразно решить задачу по крайней мере для трех точек, в одной из которых  $\frac{d\epsilon''}{d\epsilon'} = 0$ .

Способ 2 связан с положением точки, для которой  $\omega\tau = 1$ . В этой точке

$$\theta = \operatorname{arctg} \left[ \frac{\cos\left(\frac{\alpha\pi}{2}\right)}{1 + \sin\left(\frac{\alpha\pi}{2}\right)} \right]. \quad (16)$$

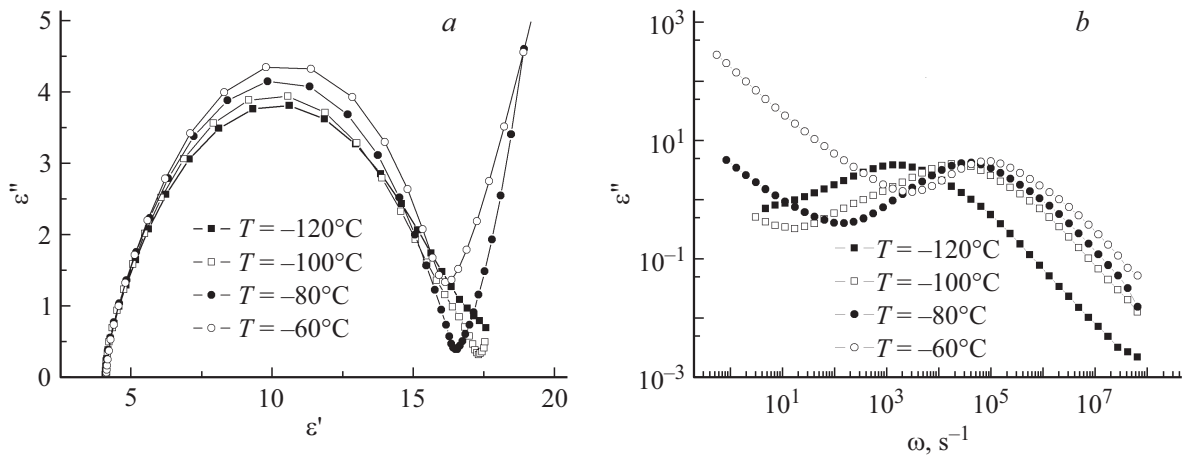
Используем (16)

$$\begin{aligned} \frac{\epsilon''}{\epsilon' - \epsilon_\infty} &= \operatorname{tg}(\beta\theta) \\ &= \operatorname{tg} \left( \beta \operatorname{arctg} \left[ \frac{\cos\left(\frac{\alpha\pi}{2}\right)}{1 + \sin\left(\frac{\alpha\pi}{2}\right)} \right] \right) = \operatorname{tg} \gamma. \end{aligned} \quad (17)$$

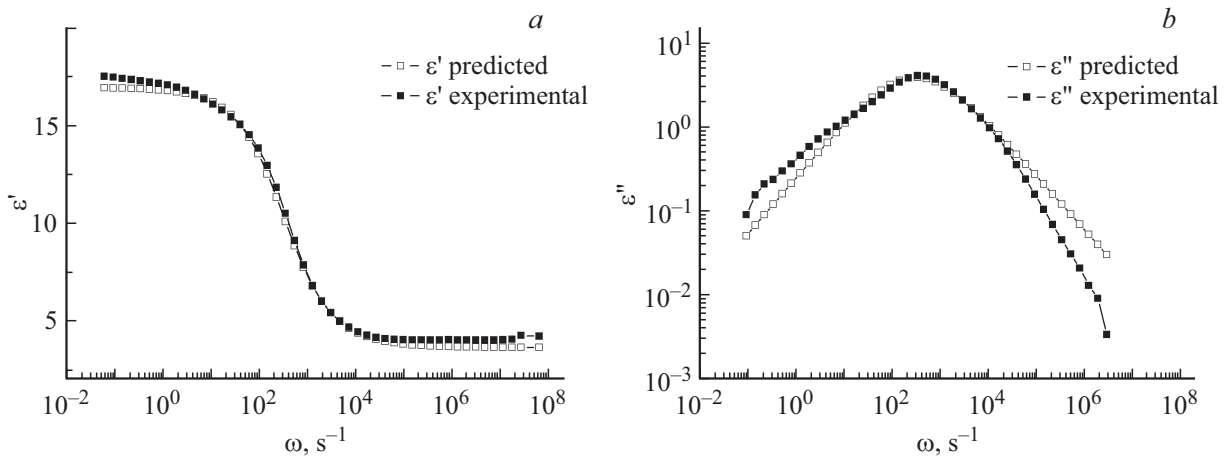
Рассчитав правую часть, т.е.  $\operatorname{tg} \gamma$ , получим уравнение прямой  $\epsilon'' = (\epsilon' - \epsilon_\infty) \operatorname{tg} \gamma$ . Далее найдем точку пересечения с полиномиальным представлением  $\epsilon'' = f(\epsilon')$ . Точка пересечения дает значение  $\epsilon'$  и соответственно по частотной зависимости определяется частота  $\omega$ . Тогда определяем время релаксации  $\tau = \frac{1}{\omega}$ .

Шаг 5 предполагает варьирование параметров  $\alpha$ ,  $\beta$  и  $\tau$  с целью нахождения наилучшего совпадения с экспериментальными величинами  $\epsilon'$  и  $\epsilon''$ . При этом можно использовать метод наименьших квадратов.

Описанная выше методика основана на методологии математического анализа. Вместе с тем компьютерные технологии в принципе позволяют организовать системно-интегральный подход для организации многофакторного анализа. Например, программный продукт WinFit, входящий в комплектацию широкополосного диэлектрического спектрометра BDS Novocontrol Concept 80 при условии установления системной GRID-платы. В работе [8] одним из соавторов предложена методика обработки на основе использования в версии программного обеспечения Origin 8.5 (Origin Lab Co) инструмента Fitting Function Builder, позволяющего программировать скрипты комплексных функций на языке C.



**Рис. 1.** Диаграммы Арганда (а) и частотные зависимости  $\epsilon''$  (b) мерзлой (температура  $-60, -80, -100, -120^\circ\text{C}$ ) дисперсной среды при  $W = 13\%$ .



**Рис. 2.** Частотные зависимости  $\epsilon'$  (а) и  $\epsilon''$  (b) мерзлой дисперсной среды при  $W = 13\%$  и  $t = -100^\circ\text{C}$ ,  $\epsilon_S = 16.93$ ,  $\epsilon_\infty = 3.71$ ,  $\alpha = 0.33$ ,  $\beta = 0.96$ ,  $\tau = 3.3 \cdot 10^{-3}\text{c}$ .

### Экспериментальные результаты

Авторы посчитали необходимым проиллюстрировать результаты, полученные при исследовании температурно-частотных зависимостей действительной и мнимой частей комплексной диэлектрической проницаемости мерзлой дисперсной среды на основе порошка кварца при влажности 13% в диапазоне температур от  $-140$  до  $0^\circ\text{C}$ .

Исследование проводилось на широкополосном диэлектрическом спектрометре BDS Novocontrol Concept 80 в диапазоне частот от  $10^{-2}$  до  $10^6$  Гц и диапазоне температур от  $-140$  до  $0^\circ\text{C}$ . Диаграммы Арганда и зависимости  $\epsilon''$  от  $\omega$  представлены на рис. 1. Результаты определения параметров частотной дисперсии представлены в таблице.

Отметим, что проведенный анализ справедлив для любых значений  $\epsilon_S - \epsilon_\infty$ , так как  $\frac{\epsilon''}{\epsilon_S - \epsilon_\infty}$  не зависит от  $\epsilon_S - \epsilon_\infty$ , а определяется параметрами  $\alpha$ ,  $\beta$  и  $\tau$  на любой частоте.

Для подтверждения правильности полученных результатов по определению параметров в модели Гавриляка–Негами на рис. 2 приведены графики зависимостей  $\epsilon'$  и  $\epsilon''$  от частоты  $\omega$ .

Слабым местом проведенного анализа является использование значений  $\epsilon''$ , точность измерения которых обычно ниже, чем точность измерения  $\epsilon'$ . Но использование диэлектрического спектрометра BDS Novocontrol Concept 80 позволяет снизить погрешности при измерениях как  $\epsilon''$ , так и  $\epsilon'$ .

Параметры частотной дисперсии в модели Гавриляка–Негами для мерзлой дисперсной среды на основе порошка кварца влажностью 13%

$t, \text{K}$	$\epsilon_S$	$\epsilon_\infty$	$\alpha$	$\beta$	$\tau, \text{c}$
153	13.04	0.95	0.30	0.95	$3.03 \cdot 10^{-2}$
173	12.94	1.118	0.24	0.95	$2.50 \cdot 10^{-3}$
193	13.015	1.246	0.24	0.98	$6.49 \cdot 10^{-4}$
213	13.09	1.243	0.26	0.99	$2.70 \cdot 10^{-4}$

## Список литературы

- [1] *Дебай П.* Полярные молекулы. М.-Л.: ГНТИ, 1931. 241 с.
- [2] *Cole K.S., Cole R.H.* // J. Phys. Chem. 1941. V. 9. P. 341.
- [3] *Devidson D.W., Cole R.H.* // J. Chem. Phys. 1951. V. 19. P. 1484.
- [4] *Havriliak S., Negami S.* // J. Polym. Sci. C. 1966. V. 14. P. 99.
- [5] *Челидзе Т.Л.* Электрическая спектроскопия гетерогенных систем. Киев: Наукова думка, 1977. 231 с.
- [6] *Лукичёв А.А.* // Известия Самарского научного центра РАН. 2015. Т. 15. № 4. С. 35.
- [7] *Андреев Е.В., Богатин А.С., Ковригина С.А., Игнатова Ю.А., Богатина В.Н., Носачев И.О.* // Фазовые переходы, межфазные границы и наноматериалы, 2015. № 1. С. 134.
- [8] *Валков А.С., Волкова Ю.В.* // Физический вестник Института естественных наук и технологий САФУ. Вып. 14. Архангельск: Кира, 2015. С. 119